

Тимофеев, М. Р.

Стальные мосты. Численно-аналитический метод расчета монтажа с учетом физической нелинейности / М. Р. Тимофеев. — СПб.: Политехника, 2021. — 140 с. ; ил.

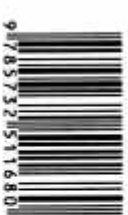
DOI: 10.25960/7325-1168-0

ISBN 978-5-7325-1168-0

Рассмотрен численно-аналитический метод расчета задач монтажа стальных пролетных строений мостов с учетом физической нелинейности на примере пролетной надвижки неразрезного коробчатого пролетного строения с большими прогибами без устремления истомогабатого опор. Обобщены данные о поведении реальной конструкции в процессе надвижки. Рассмотрено влияние изменения изгибающейся в процессе надвижки погибей стенок и напряженно-деформированного состояния конструкции в местах ее опирания на наклонные устройства на прогиб консоли в целях прогнозирования возможных остаточных деформаций пролетного строения при его монтаже. Метод расчета предложен для определения прогибов пролетных строений на монтаже для разработки проектных решений по предотвращению снижения эксплуатационных качеств сооружения.

Книга предназначена для инженерно-технических и научных работников, занимающихся проектированием и исследованием в области организации строительства и инженерно-технического сопровождения монтажа большепролетных мостовых сооружений.

ISBN 978-5-7325-1168-0



Михаил Романович Тимофеев

НАУЧНОЕ ИЗДАНИЕ

ЧИСЛЕННО-АНАЛИТИЧЕСКИЙ МЕТОД РАСЧЕТА МОНТАЖА С УЧЕТОМ ФИЗИЧЕСКОЙ НЕЛИНЕЙНОСТИ

Редактор М. И. Коцкак, Художник М. Л. Черненко,
Корректор М. И. Коцкак, Компьютерная верстка Т. М. Каргиновой

Подписано в печать 16.03.2021. Формат издания 60·90 $1\frac{1}{8}$.
Гарнитура SchoolBookC. Печать офсетная. Бумага офсетная. Усл. печ. л. 8,75.
Уч.-изд. л. 9,33. Тираж 100 экз. Заказ 3146.

АО «Издательство «Политехника»*,

191023, Санкт-Петербург, Инженерная ул., д. 6.

Отпечатано в ООО «Контракт».

192029, Санкт-Петербург, пр. Обуховской Обороны, д. 38, лит. А.

DOI: 10.25960/7325-1168-0
ISBN 978-5-7325-1168-0

Т41
Стальные мосты. Численно-аналитический метод расчета монтажа с учетом физической нелинейности / М. Р. Тимофеев. — СПб.: Политехника, 2021. — 140 с. ; ил.

DOI: 10.25960/7325-1168-0

ОГЛАВЛЕНИЕ

Г л а в а 1. Задачи совершенствования расчетов стальных больших пролетных мостов по второму предельному состоянию 5

1.1. Практическое значение оценок пластического деформирования стальных пролетных строений мостов 5
1.2. Краткие сведения о мосте через р. Каму в г. Перми. Влияние метода монтажа на конструкцию ПС 8
1.3. Предварительная оценка возможных причин повышенной податливости консолей погибей ПС при надвижке 14

Г л а в а 2. Плоские стержневые схемы (модели 2D) и результаты расчетов на их основе погибей ПС при надвижке и после замыкания 17
2.1. Расчетные схемы 2D для анализа НДС пролетного строения 17
2.2. Результаты расчетов прогибов по схемам 2D 23
2.3. Данные о фактических прогибах 26
2.4. Выводы 32

УДК 69.057
ББК 38.54

Г л а в а 3. Пространственное НДС системы «пролетное строение — наклонное устройство» 35

3.1. Испытания резиновых опорных частей наклонных устройств 36
3.2.1. Исследование формы начальной погибы панелей заводского изготовления 36
3.2.2. Результаты натурного исследования погибы стендок 38
3.2.3. Исследование формы начальной погибы панелей заводского изготовления 39
3.2.4. Характер изменений погибей в процессе надвижки 45
3.2.5. Распределение амплитуд погибей и дополнительных погибей стенок с различной толщиной 48
3.2.4. О соответствии измеренных погибей допускам действующих норм 49
3.3. Пространственные конечно-элементные схемы системы «пролетное строение — резинометаллическая опорная часть — наклонное устройство» (3D). Результаты расчетов прогибов 51
3.3.1. Расчетные схемы 3D 51
3.3.2. Методика оценки зависимости между деформированым состоянием опорного блока ПС—НУ и прогибом конца консоли ПС 54
3.4. Напряженное состояние опорных блоков 59

Г л а в а 4. Приближенный способ расчета остаточных прогибов консольных схем ПС при продольной наливке

70

4.1. Постановка задачи

71

4.2. Зависимость между напряжениями и остаточными деформациями

73

4.3. Алгоритм расчета. Пример определения остаточного прогиба консоли

75

4.4. Реализация способа на основе численного решения задачи о напряженно-деформированном состоянии пластины ПС

78

Г л а в а 5. Приближенный способ оценки жесткости и местной устойчивости стеков ПС с погибью

96

5.1. Вводные замечания

96

5.2. Методика определения жесткостных характеристик стеков ПС с начальной погибью как технологически ортотропных

99

5.3. Оценка влияния погиби на местную устойчивость стеков ПС

103

Список литературы

109

Приложение А. Расчетные схемы

112

Приложение Б. Графики распределения безразмерных параметров

128

Приложение В. Выборка из результатов расчетов напряжений для плетей с различными длинами консолей

134

Г л а в а 1

Задачи совершенствования расчетов стальных большепролетных мостов по второму предельному состоянию

1.1. Практическое значение оценок пластического деформирования стальных пролетных строений мостов

Большое количество пролетных строений, запроектированных по старым нормам на основе расчетов по методу допускаемых напряжений в предположении упругой работы конструкции, эксплуатировались и продолжают работать в настоящее время с провисанием. В одних случаях оно проявляется как результат провоза сверхнормативных грузов, в других — в связи с широко практиковавшейся безосновательной укладкой дополнительных слоев асфальтобетонного покрытия, иногда вследствие ошибочных проектных решений по переустройству проезжей части с увеличением ее габарита и т. д.

Между тем выполненные в конце 40-х — начале 50-х годов ХХ века исследования работы таких пролетных строений (ПС) с провисанием, присущим большому числу восстановленных после разрушений во время войны железнодорожных мостов, показали [22, 23], что провисание не влияет на грузоподъемность сооружений, хотя при определенных условиях может ухудшать их эксплуатационные качества.

Применение в практике мостостроения сталей с высокими прочностными показателями в сочетании с утонением полеречных сечений и уменьшением строительной высоты ПС сопровождалось пересмотром расчетных требований норм проектирования. В на-

стоящее время все действующие строительные нормы и правила (СП) по проектированию металлоконструкций, в том числе пролетных строений мостов, содержат методики расчетов прочности допускающие ограниченное развитие пластических деформаций. Последние неизбежно реализуются при напряжениях, близких к расчетному сопротивлению по пределу текучести, который для сталей большинства марок определяется как условный предел текучести $\sigma_t = 0,2\%$ пластических деформаций. При этом по умолчанию предполагается их пренебрежимость.

Между тем в некоторых случаях возникает потребность в их оценке. Так, сравнивались остаточные прогибы после испытания ряда мостов с расчетными прогибами, определенными в предположении упругой работы ПС. Обрабатывались результаты испытаний, проведенных в том числе с участием автора, и доступные для анализа материалы испытаний других больших мостов (через р. Днепр в г. Днепродзержинске, р. Чусовую и Каму в г. Перми, р. Каму в пос. Гайны Пермского края и др.). Четко прослеживается зависимость остаточных прогибов от уровня напряжений при действии испытательной нагрузки, причем максимальное расходжение в результатах было отмечено в случае моста в пос. Гайны конструкции ПС которого запроектированы с наибольшим уровнем напряжений от расчетных нагрузок.

Хотя во всех случаях остаточные прогибы находились в пределах допусков по действовавшим на момент испытаний нормам, традиционное объяснение несоответствия расчетных и экспериментальных данных как результат обжатия опорных частей и болтовых соединений стыков было недостаточным. Представляют интерес ситуации, связанные с изменениями продольного профиля многопролетных мостов в процессе эксплуатации, которые были отмечены при обследовании мостов через р. Сылву в г. Кунгуре и р. Чусовую в г. Перми. Строительные подъемы пролетов, прианные на сборочных стапелях, после установки конструкций на постоянные опоры (независимо от метода монтажа) претерпевали значительные изменения. Последнее согласуется с результатами расчетов на воздействие только дополнительных постоянных нагрузок.

Наибольшие искажения продольного профиля наблюдаются в зонах максимальных напряжений у промежуточных опор и совершаются уменьшением строительного подъема в пролетах. На мосту через р. Чусовую было отмечено уменьшение строительного подъема крайнего 84-метрового пролета неразрезного металлического ПС в течение короткого периода ремонта дефор-

мационного шва над устоем, который проводился по половинам габарита проезжей части со светофорным регулированием движения транспорта. Оно проявилось как результат скопления автотранспорта на ПС при явном отсутствии перегрузки конструкций. К настоящему времени накоплен также большой опыт правки элементов конструкций стальных ПС со всем возможными отклонениями от проектной формы при заводском изготовлении и их последующей работе при действии статических и динамических нагрузок. Этот опыт работы НИЦ «Мосты», АО «ЦНИИС» (Москва) показал, что после правки конструкции удовлетворяют всем нормативным требованиям.

Следует отметить также известный опыт ОАО «Институт Гипротрансмост» (Москва) одиночных правок ПС со значительными погнутостями, образовавшимися при аварийных ситуациях во время строительства моста через р. Чусовую в г. Перми. В одном случае была сохранена после правки значительная часть конструкций одного из пролетов ПС, рухнувшего при надвижке с накаточных путей вследствие потери устойчивости стенки двутавровой прокатной балки.

Во втором случае, показательном в связи с рассматриваемой задачей, произошла авария при просадке основания опоры № 1. Образовалось провисание полностью смонтированного крайнего пролета длиной 84,0 м сталежелезобетонной части моста, выполненной по схеме $4 \times 84,0$ м. Прогиб торца ПС составил около 3,6 м. При этом напряжения в сечении ПС над смежной (второй) опорой превзошли расчетные сопротивления стали. Однако после возведения новой объемлющей опоры и подъемки торца ПС последствия аварии были ликвидированы без замены конструкций. Предлагаемые испытания и обследования, проведенные ООО «Институт «Проектмостреконструкция» (г. Саратов) и НИЦ «Мосты» АО ЦНИИС с участием ООО «НИЛ ТРАНСМОСТ» (г. Пермь), а также последующие обследования, выполненные ООО «НИЛ ТРАНСМОСТ», в процессе эксплуатации моста в течение более 20 лет не выявили негативных последствий аварии.

Этот опыт Гипротрансмоста имел прямое продолжение при правке продольного профиля ПС первой очереди Красавлинского моста в г. Перми перед стыковкой двух надвинутых плетей с большим перепадом по высоте. Попытка предотвратить повторение ошибки посредством мониторинга за монтажными работами второй очереди моста, а также несоответствие результатов расчетов и фактических прогибов консолей при продольной надвижке ПС послужили толчком к выполнению настоящей работы. Таким образом, определилась потребность в обеспечении расчетов неупругих

деформаций при строительных нагрузках. Во всех рассмотренных случаях выполнение расчетных требований по предельным состояниям первой группы не обеспечило упругой работы ПС поскольку каждое повторное нагружение происходит по ветви разгрузки, соответствующей максимальному достигнутому напряжению, неупругое поведение реализуется в ограниченных пределах без помех для нормальной эксплуатации сооружения. Однако из этого не следует достаточность расчетов по второй группе предельных состояний без учета пластических деформаций при расчетах не только на эксплуатационные, но и на строительные нагрузки.

Из вышеизложенного следует, что современные нормы проектирования, допускающие ограниченное развитие пластических деформаций при расчетах ПС по первому предельному состоянию согласуются с накопленным опытом изготовления и эксплуатации мостов и отражают его. В то же время является очевидной желательность в одних случаях и необходимость — в других в практическом обеспечении расчетов по второму предельному состоянию с учетом ограниченных пластических деформаций. Последнее относится к разработке ПОС применительно к особенностям метода продольной надвижки без вспомогательных опор. Рассмотрение этих вопросов связано со сбором информации о факторах, в том числе случайных, которые могут повлиять на результаты расчетов а также с разработкой расчетного метода, отражающего реальные условия работы ПС и удовлетворяющего возможностям практического обеспечения мониторинга за их надвижкой.

1.2. Краткие сведения о мосте через р. Каму в г. Перми. Влияние метода монтажа на конструкцию ПС

Как отмечалось, толчком к постановке задач настоящей работы послужили результаты мониторинга монтажа второй очереди ПС моста через р. Каму в г. Перми. При мониторинге наряду с другими работами осуществлялись входной контроль монтажных блоков заводского изготовления, их сборка, а также контроль сравнение фактических прогибов после выдвижения блоков ПС с монтажной площацкой и результатов расчетов на основе конечно-элементных схем.

Проект мостового перехода разработан ОАО «Гипротрансмост» (Москва, ГИП И. М. Лебедев), проект надвижки рулевого ПС — ОАО «Институт Гипростроймост» (Москва, ГИП В. А. Баландин)

Генподрядчик строительства — ЗАО «Уралмостстрой». Мостоотряд № 123 (г. Пермь). Металлоконструкции ПС изготавливались на заводе ЗАО «Курганстальмост». Работы по инженерному сопровождению первой очереди строительства выполнялись ЗАО «Институт «Стройпроект» (Санкт-Петербург), второй очереди — ООО «НИЛ ТРАНСМОСТ» (ГИП М.Р. Тимофеев).

Мост через р. Каму состоит из рулевой и эстакадных частей. Полная длина мостового перехода 1735,91 м, в том числе длина рулевого ПС — 966,4 м. Пролетные строения — раздельные под встречные направления движения. Строительство моста осуществлялось в две очереди.

Рулевое ПС (рис. 1.1) — металлическое неразрезное однокоробчатое с ортотропной плитой, перекрывает пролеты от опоры № 9 до опоры № 17 и запроектировано по схеме (93,7 + 126 + 126 + 126 + 147 + 126 + 126 + 93,7) м.

Проектные нагрузки на рулевое пролетное строение — A11 (3 полосы), НК-80.

Материал пролетного строения — сталь 10ХСНД и 10ХСНД-2. Монтаж пролетного строения осуществлялся методом конвейерного гигилявой сборки одновременно с двух берегов. Проектное замыкание пролетного строения производилось на весу в середине пролета 13–14 длиной 147 м.

Сборка выполнялась поблочно (длина блока — 21 м) на сборочных стапелях. Укрупнительная сборка элементов ортотропных плит осуществлялась на сборочных клетях у основания стапелей. Левобережная плесть длиной 546,2 м состояла из 26 блоков (23 ви-дов), правобережная плесть длиной 420,2 м — из 20. Надвижка плетей осуществлялась по накаточным устройствам, установленным на сборочных стапелях и оголовках опор.

Схема накаточного устройства показана на рис. 1.2. Оно представляло собой пару балансирных балок (по одной на главную опорную часть), объединенных связями. Сварная коробчатого сечения балансирная балка установлена на одну стальную тангенциальную опорную часть (ТОЧ), расположенную в среднем сечении балки. На верхний пояс балансирной балки уложены резиново-металлические опорные части (РОЧ) 30 × 40 × 7,8-1,0. На РОЧ уложен металлический лист-крышка, на который, в свою очередь, укладывались листы и карточки скольжения.

Применились три типа накаточных устройств. Накаточные устройства НУ-2 устанавливались на сборочных стапелях, устоях и на опорах № 13 и № 14 «пролета замыкания». На остальных капитальных опорах — НУ-3. Крайние устройства на сборочных стапелях — НУ-1.

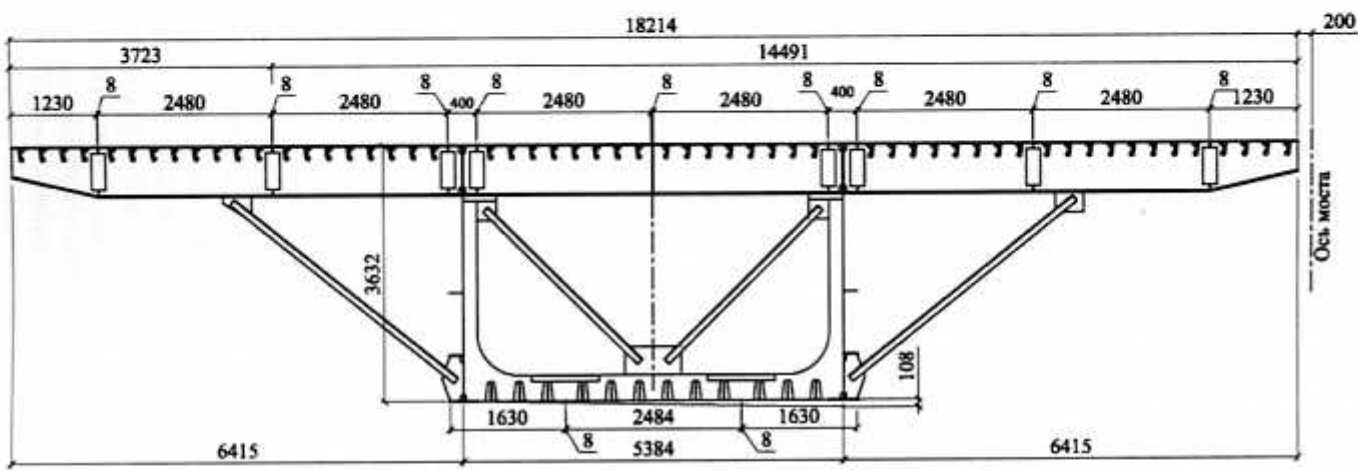


Рис. 1.1. Поперечное сечение пролетного строения

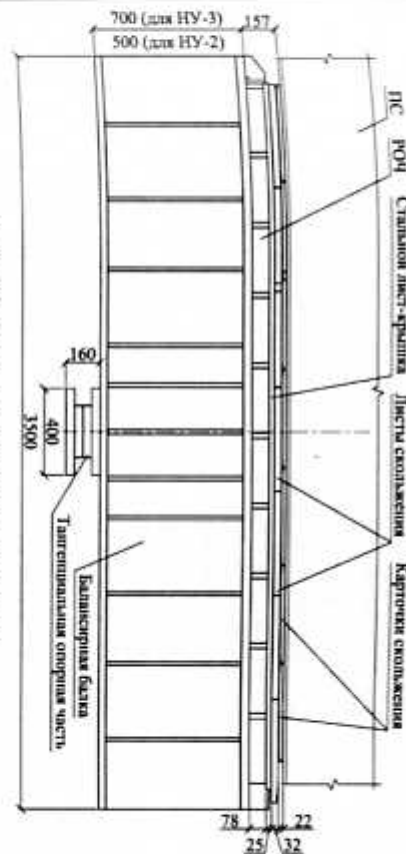


Рис. 1.2. Схема накаточного устройства

Длина балансирующих балок НУ-2 и НУ-3 – 3,5 м. Высота балок: для НУ-2 – 500 мм, для НУ-3 – 700 мм. Толщины элементов балок одинаковые.

Проектное вертикальное давление на НУ-2 (на две балансирующие балки) составило:

- на опоре № 9 – до 1195 тс;
- на опорах № 13 и № 14 – до 912 тс при $L_k = 73,5$ м (без аванбека и консольных плит блока Б1п);
- на опоре № 17 – до 1190 тс.

То же на НУ-3 (на две балансирующие балки):

- на опоре № 10 – до 1380 тс;
- на опоре № 11 – до 1375 тс;
- на опоре № 12 – до 1355 тс;
- на опоре № 15 – до 1390 тс;
- на опоре № 16 – до 1365 тс.

При замыкании пролетного строения второй очереди фактические прогибы консолей более чем вдвое превышали проектные. При этом в отличие от первой очереди при замыкании пролетного строения второй очереди консоли обеих плетей (левобережной и правобережной) имели примерно одинаковый прогиб; пренесение торца левобережной плети над торцом правобережной составило 105 мм.

К моменту перед замыканием первой очереди нестыковка торцов равнялась 966 мм. После корректировки проектного продольного профиля перед замыканием пролетного строения нестыковка была уменьшена до 550 мм. При этом был учтен проектный заvodской строительный подъем, равный 645 мм. Следует отметить, что правка профиля сопровождалась потерей местной устойчиво-